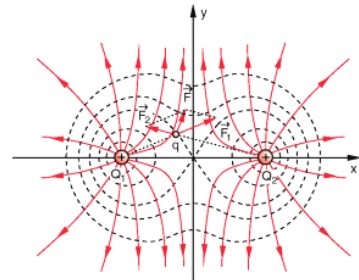


Kapitel 1: Elektrostatik

- Elektrische Ladungen und Kraft (Coulomb-Gesetz)
- Das elektrische Feld und elektrostatisches Potential
- Dipole
- Die Energie des elektrischen Feldes
- Leiter und Dielektrika im elektrischen Feld
- Die atomaren Grundlagen von Ladungen und elektrischen Momenten
- Weitere Beispiele in Natur und Technik

$$\mathbf{F} = f \cdot \frac{Q_1 \cdot Q_2}{r^2} \hat{r}$$

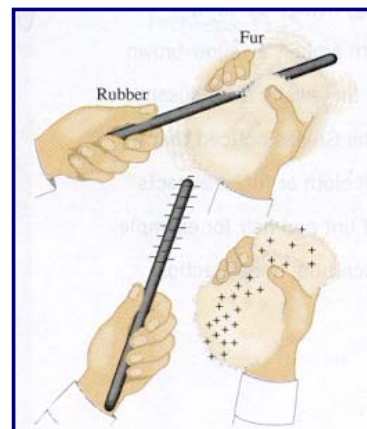


Triboelectric sequence (Reibungselektrizität)

- Rabbit Fur (**very positive**)
- Glass
- Human Hair
- Wool
- Cat Fur
- Lead
- Silk
- Human skin, Aluminum
- Paper
- Cotton
- Wood
- Amber (Bernstein)
- Rubber (hard)
- Copper, Brass
- Styrene (Styrofoam)
- **Polyethylene (like scotch tape)**
- **Polypropylene Vinyl (PVC)**
- Silicon, Teflon (**very negative**)

+

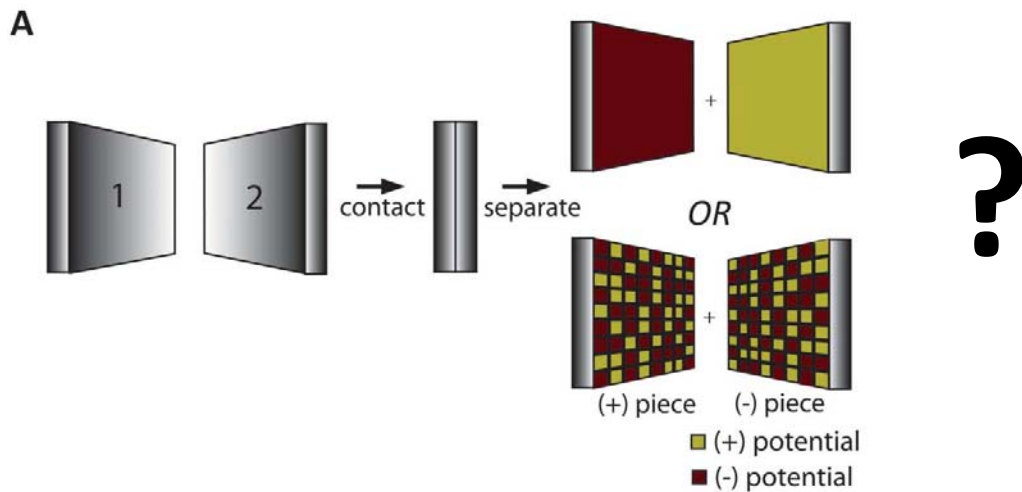
The **items on top** are less attractive to electrons and become positively charged



-

the **items on the bottom** are more attractive to electrons and become negatively charged.

Triboelektrizität



"When dielectric materials are brought into contact and then separated, they develop static electricity. For centuries, it has been assumed that such contact charging derives from the spatially homogeneous material properties (along the material's surface) and that within a given pair of materials, one charges uniformly positively and the other negatively. "

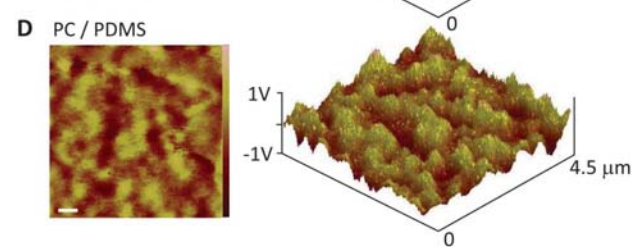
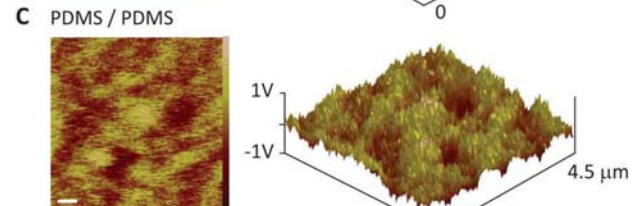
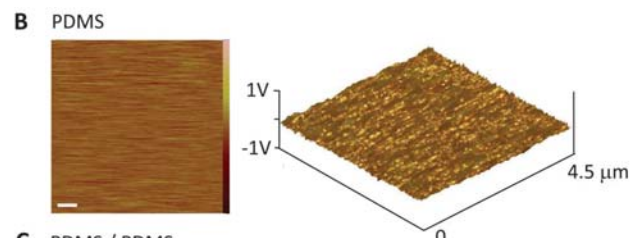
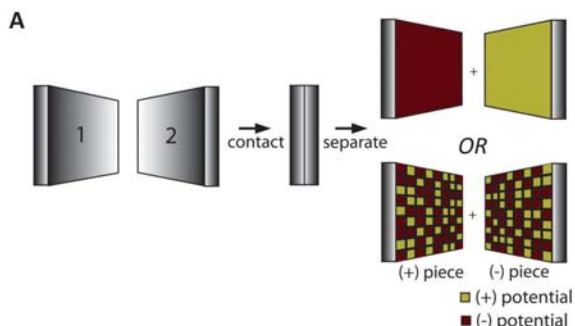
The Mosaic of Surface Charge in Contact Electrification

Grzybowski et al., 308, 333, Science (2011)

Ch 1: Elektrostatik

Physik II, mc

Triboelektrizität



"We demonstrate that this picture of contact charging is incorrect. Whereas each contact-electrified piece develops a net charge of either positive or negative polarity, each surface supports a random "mosaic" of oppositely charged regions of nanoscopic dimensions."

The Mosaic of Surface Charge in Contact Electrification

Grzybowski et al., 308, 333, Science (2011)

Ch 1: Elektrostatik

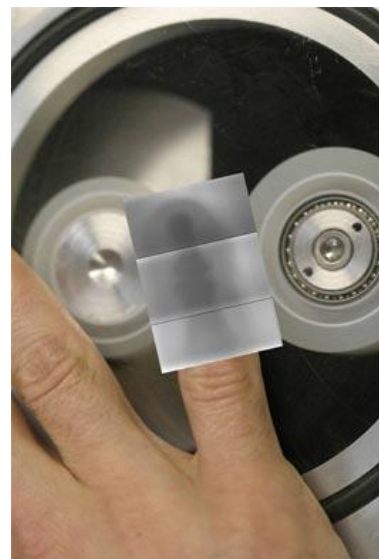
Physik II, mc

Triboelektrizität



Correlation between nanosecond X-ray flashes and stick-slip friction in peeling tape
Puttemans, et al., *Nature* 455, 1089–1092 (2008).

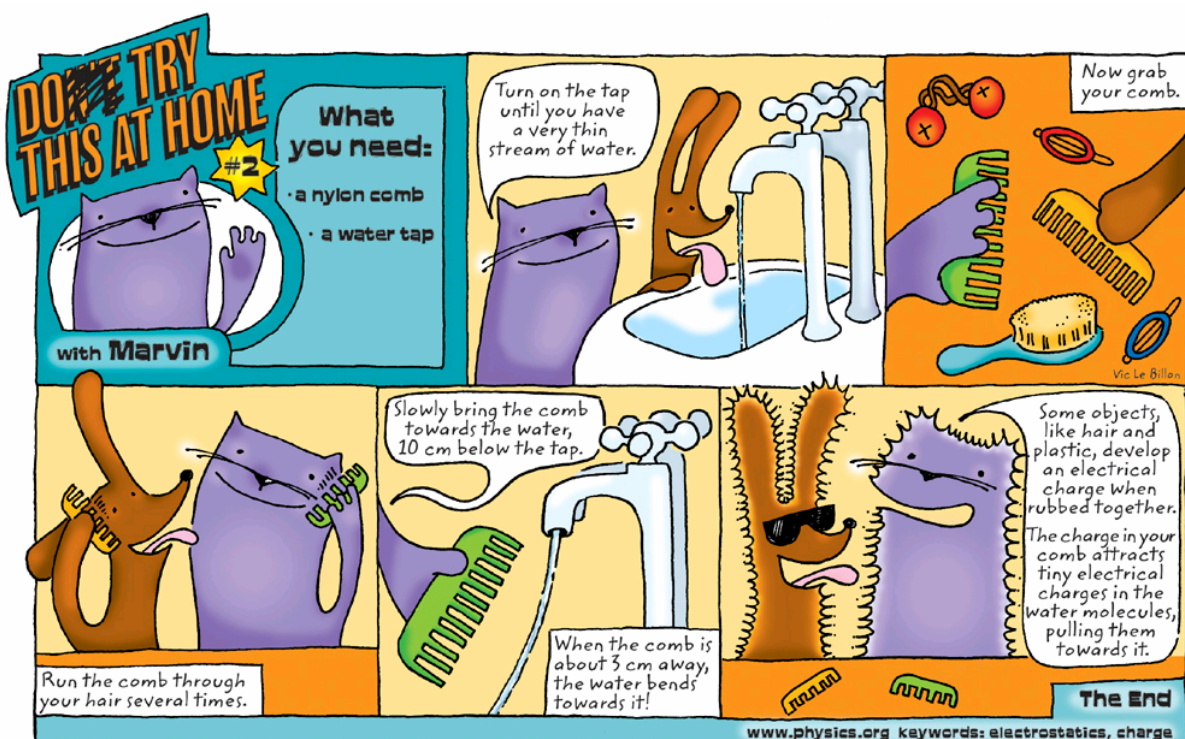
[video](#)



While being unpeeled, sticky tape emits light ... and x-rays. The light emission occurs due to charge separation (taking place due to friction) and charge recombination.

X-ray image (superimposed) of a human finger taken using X-rays emitted during sticky tape peeling. Estimate: 1 electron in 10'000 generates x-ray upon recombination.

Home experiment...

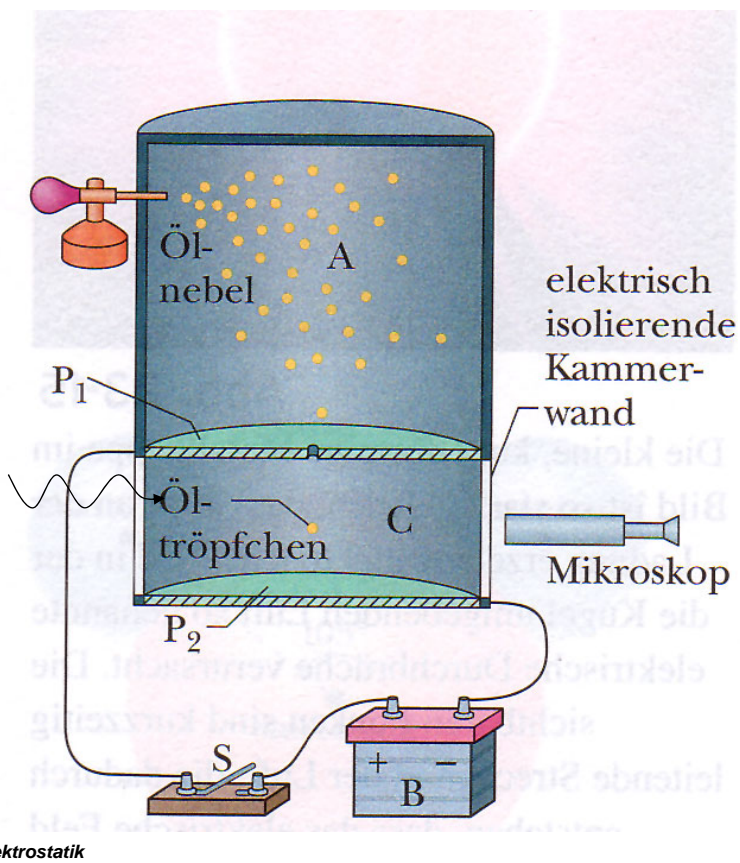


Milikan's Experiment



Robert Millikan
USA, 1868-1953
Nobel: 1923

Phys. Rev. II (2), 109 (1913)



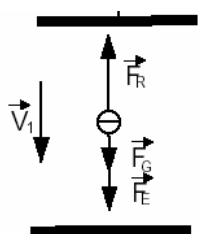
Milikan's Experiment



Robert Millikan
USA, 1868-1953
Nobel: 1923

Phys. Rev. II (2), 109 (1913)

Tröpfchen sinken



Kräfte

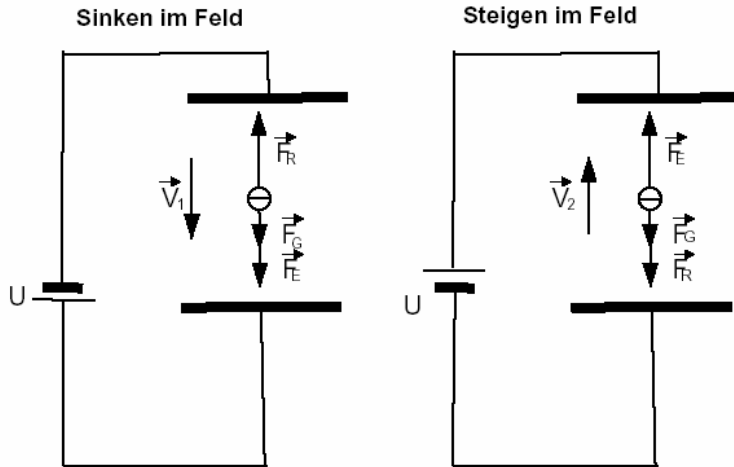
$$\text{Gewichtskraft} \quad F_g = m \cdot g = \frac{4}{3} \pi r^3 \cdot \rho_O \cdot g$$

$$\text{Auftriebskraft} \quad F_A = \frac{4}{3} \pi r^3 \cdot \rho_L \cdot g$$

$$\text{Reibungskraft} \quad F_R = 6\pi\eta rv$$



Milikan's Experiment



Robert Millikan
USA, 1868-1953
Nobel: 1923

Phys. Rev. II (2), 109 (1913)

Kräfte

Gewichtskraft

$$F_g = m \cdot g = \frac{4}{3} \pi r^3 \cdot \rho_O \cdot g$$

Auftriebskraft

$$F_A = \frac{4}{3} \pi r^3 \cdot \rho_L \cdot g$$

Reibungskraft

$$F_R = 6\pi\eta rv$$

Elek. Kraft

$$F_E = q \cdot E = \frac{qU}{d}$$

Im Schwebezustand:

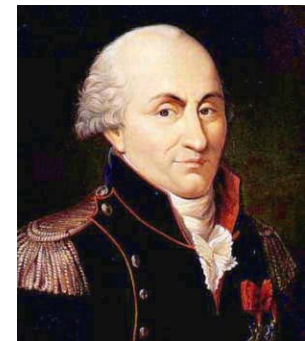
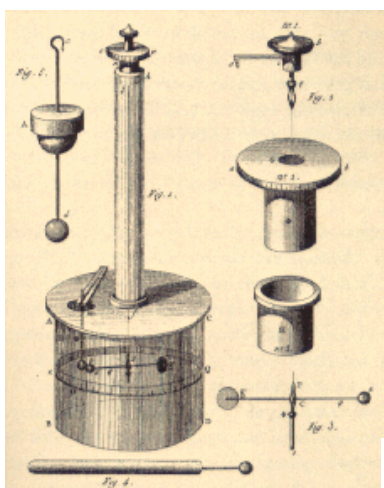
$$F_g - F_A = F_E$$

⇒ Elementar Ladung e
q=N·e

Ch 1: Elektrostatik



Coulomb's law: torsion balance



Charles-A. de Coulomb
France, 1736-1806

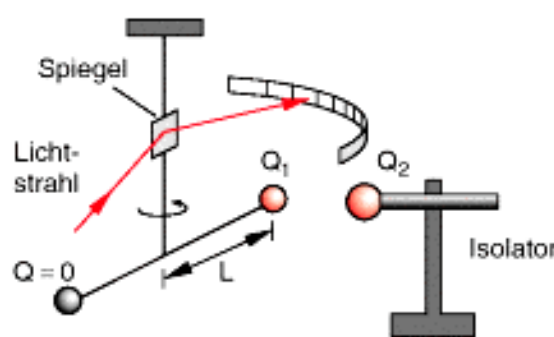


Abb. 1.3. Coulombsche Drehwaage



Ch 1: Elektrostatik

Feldlinien

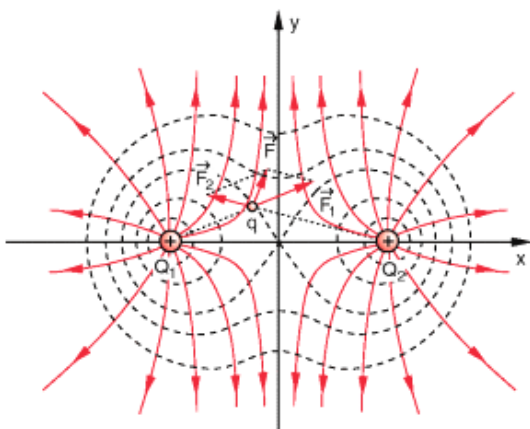


Abb. 1.9. Elektrische Feldlinien, Kraft $\vec{F}(r)$ auf eine Ladung q und Äquipotentiallinien zweier räumlich getrennter gleicher Ladungen. Die Figur ist rotationssymmetrisch um die x -Achse

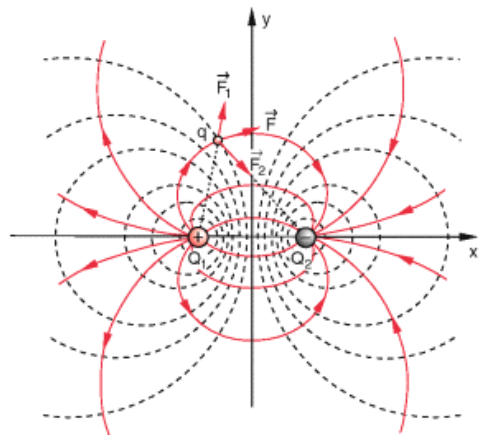


Abb. 1.10. Elektrische Feldlinien und Äquipotentiallinien zweier entgegengesetzt gleicher Ladungen Q_1 und $Q_2 = -Q_1$ (elektrischer Dipol). Die Figur ist rotationssymmetrisch um die x -Achse

Feldlinien

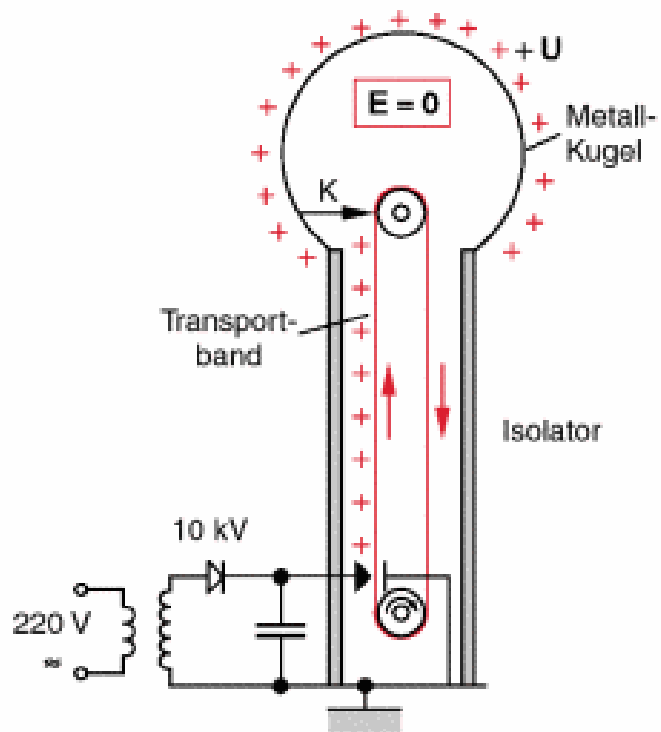


Abb. 1.33. Prinzipschema des Van-de-Graaff-Generators

Feldlinien

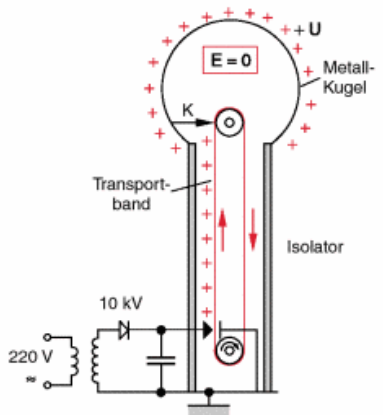
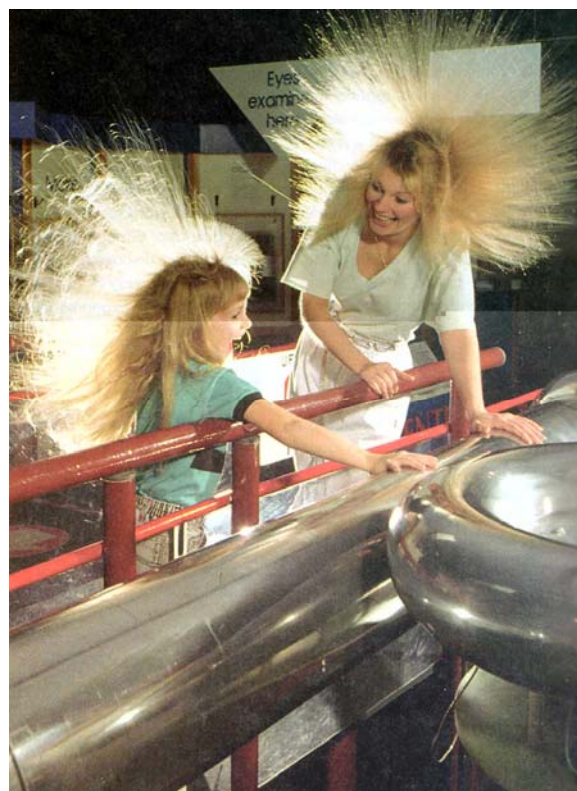


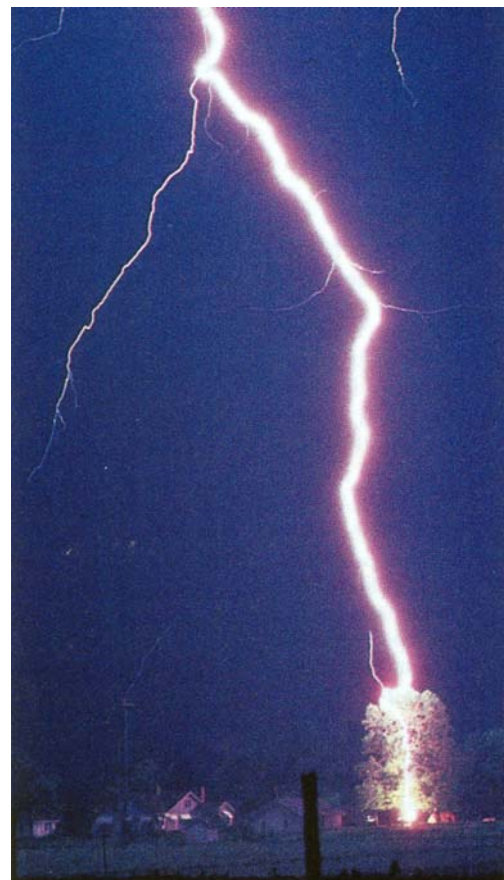
Abb. 1.33. Prinzipschema des Van-de-Graaff-Generators



Blitze



Blitze



Ch 1: Elektrostatik



Physik II, mc

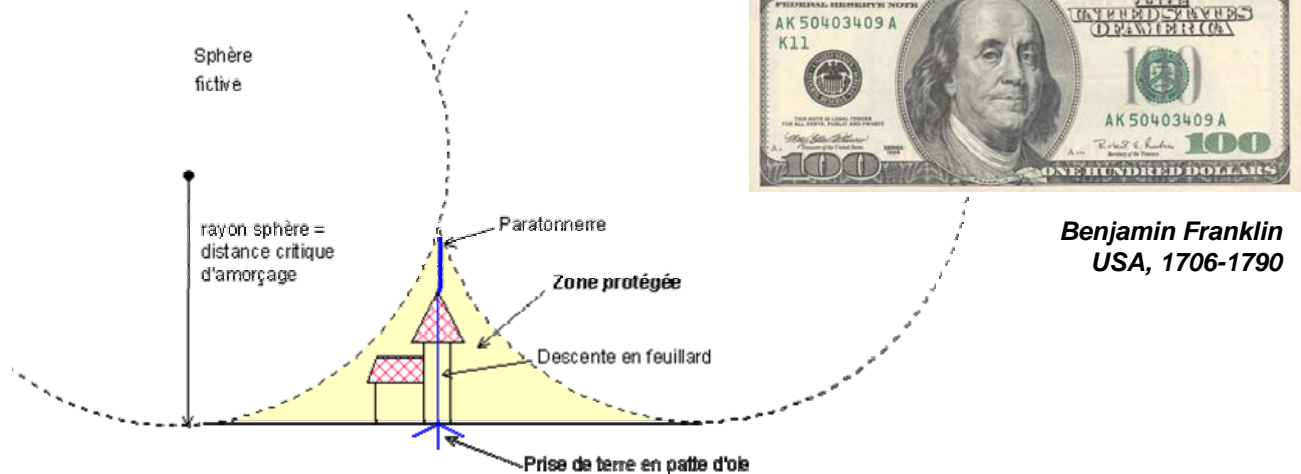
St-Elme Feuer



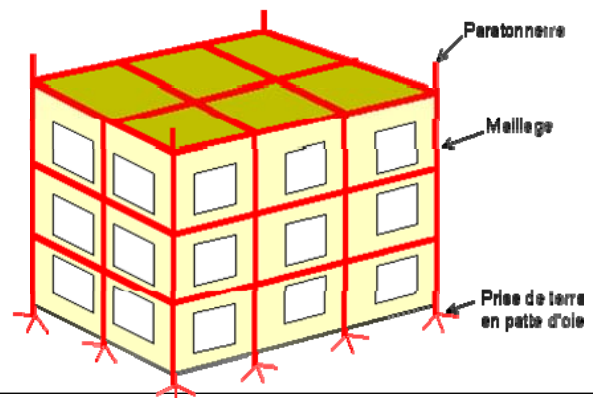
'ST. ELMO'S FIRE' ON MASTS OF SHIP AT SEA.

Ch 1: Elektrostatik

Physik II, mc



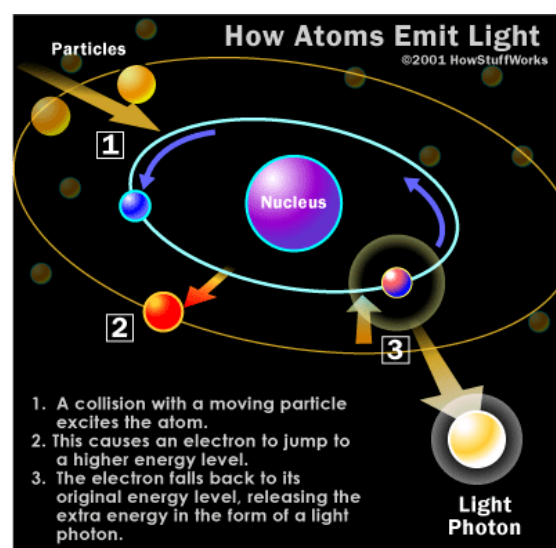
Spitzeneffekt Anwendung:
e.g.: Blitzableiter



Ch 1: Elektrostatik

Physik II, mc

Leuchtrohr



Ch 1: Elektrostatik

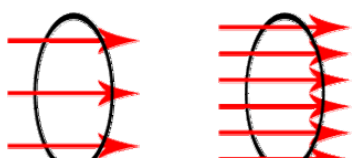
Physik II, mc

Gauss' law

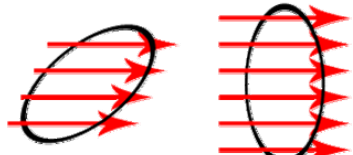


Karl F. Gauss
German, 1777-1855

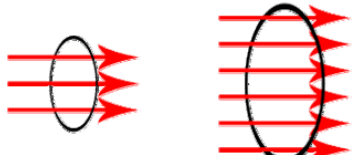
Fluss: mechanik



Flux is proportional to the density of flow.

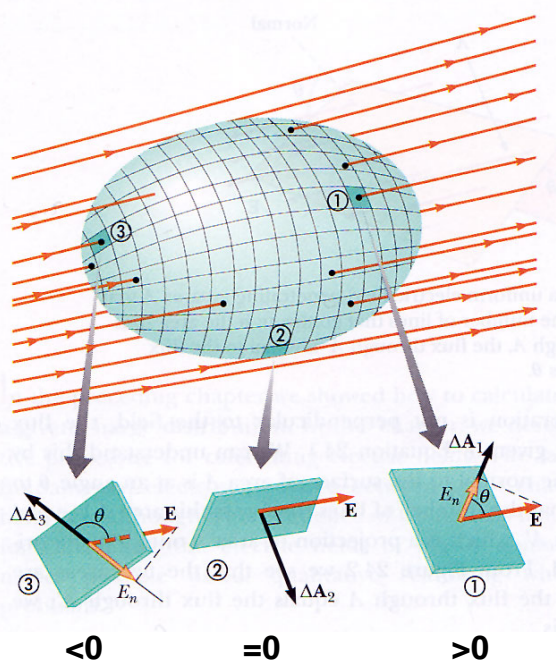


Flux varies by how the boundary faces the direction of flow.

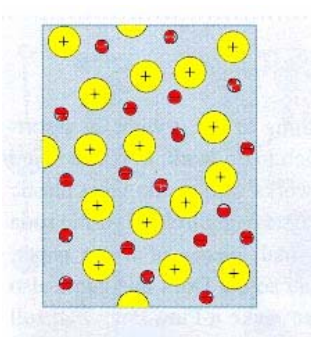


Flux is proportional to the area within the boundary.

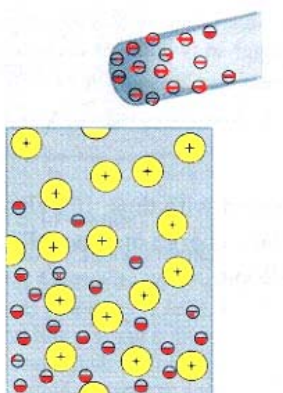
Fluss: E Feld



Attracting Uncharged Metallic Objects

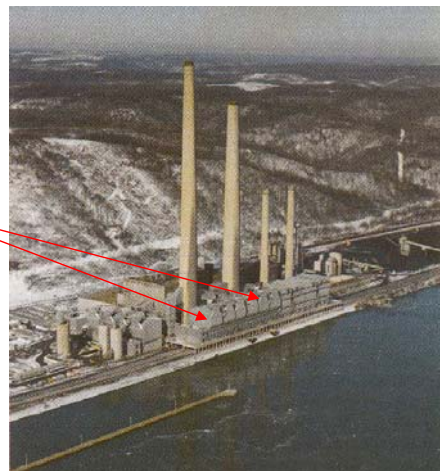
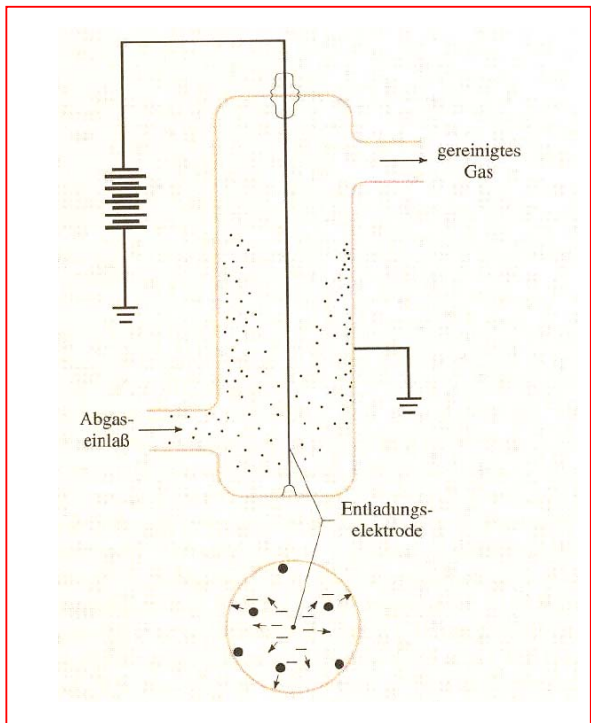


Electrons are free to move in metals.



Nuclei remain in place;
electrons move to bottom.

Anwendungen

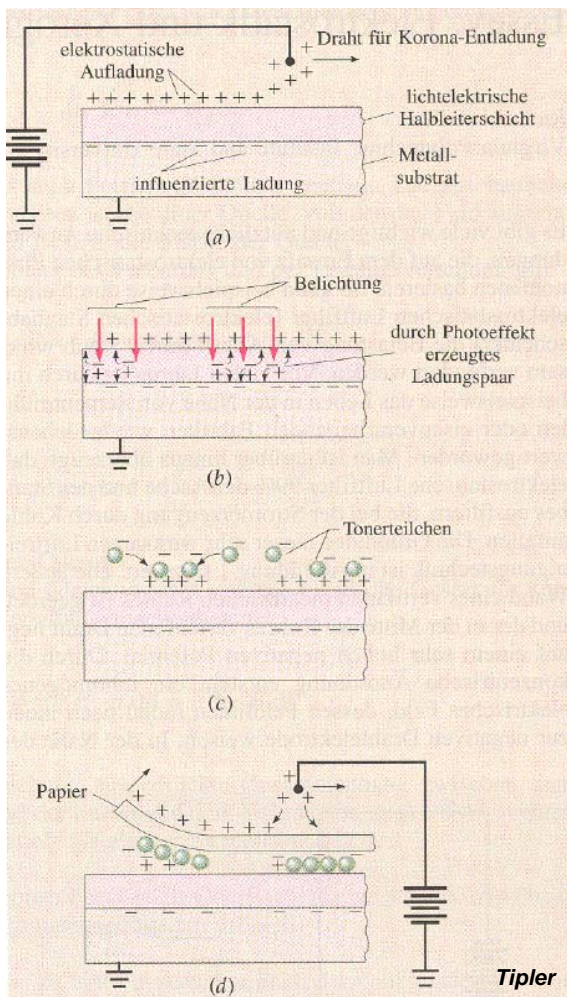


**Entladung in einem
Elektrostatischen Abgasfilter**

Tipler

Ch 1: Elektrostatik

Physik II, mc



(a) Aufladen



Chester Carlson
USA, 1906-1968
(patent: 1942)

(b) Belichten

(c) Entwicklung

(d) Übertragung auf Papier

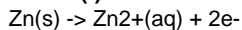
Physik II, mc

Tipler

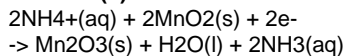
batteries

Carbon-zinc Batteries

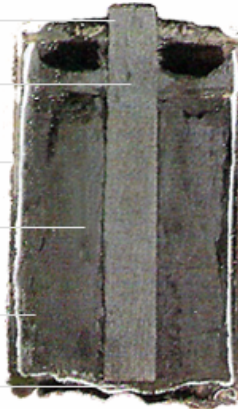
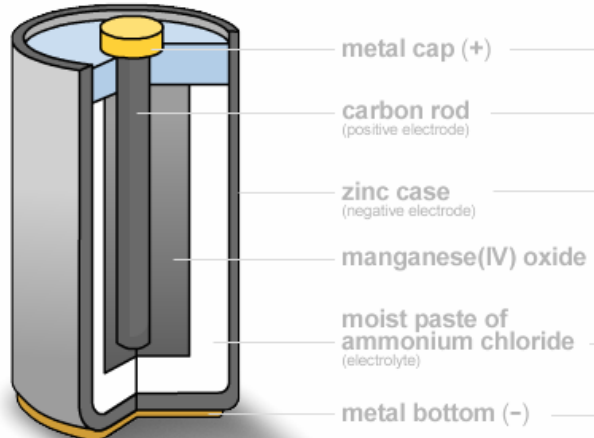
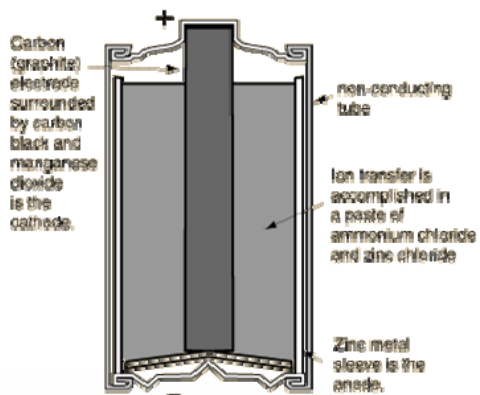
anode (-)



cathode (+)



+ other reactions in paste (gas, must be absorbed)



Ch 1: Elektrostat

Physik II, mc

Battery

- A battery is analogous to a pump in a water circuit. A pump takes in water at low pressure and does work on it, ejecting it at high pressure. A battery takes in charge at low voltage, does work on it and ejects it at high voltage.

$$\text{pressure} = \frac{\text{energy}}{\text{volume}}$$

$$\text{pressure} = \frac{F}{A}$$

$$\frac{F}{A} = \frac{Fd}{Ad} = \frac{W}{V}$$

$$= \frac{\text{energy}}{\text{volume}} \frac{\text{joule}}{\text{m}^3}$$

high pressure low pressure

Pump 50 lb/in² 10 lb/in²



A closed faucet has pressure behind it, but no flow.
(resistance $\rightarrow \infty$)

$$\text{voltage} = \frac{\text{energy}}{\text{charge}}$$

$$\text{volt} = \frac{\text{joule}}{\text{coulomb}}$$

high voltage low voltage

Battery 12 volts 0 volts

A 12 volt battery does 12 joules of work on each unit of charge which passes through it.



A receptacle has voltage behind it, but no current if nothing is plugged in.
(resistance $\rightarrow \infty$)

Kondensator Prinzip

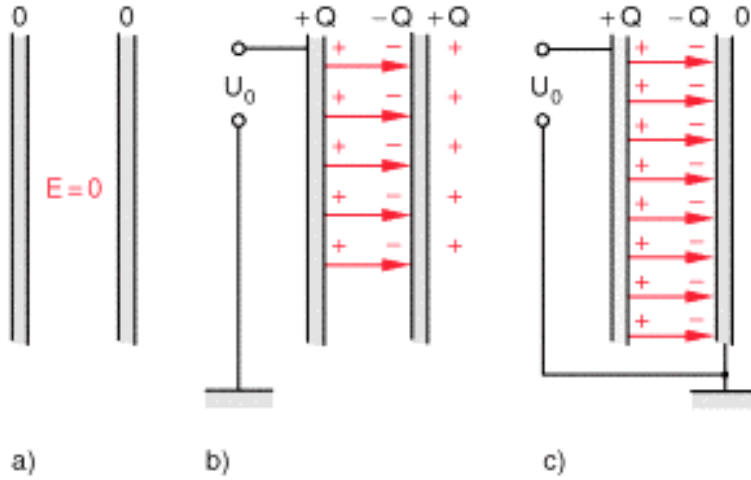
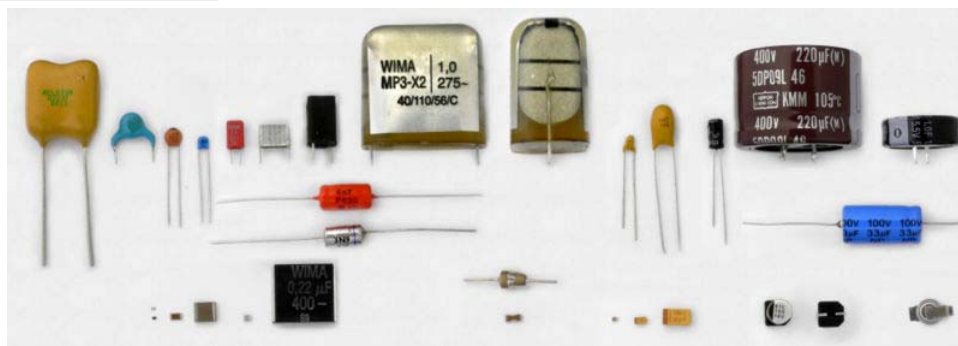
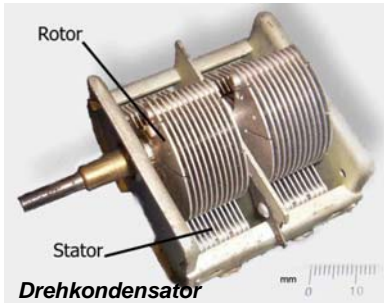


Abb. 1.35a–c. Zum Prinzip des Kondensators: (a) ungeladen-

Kondensatoren

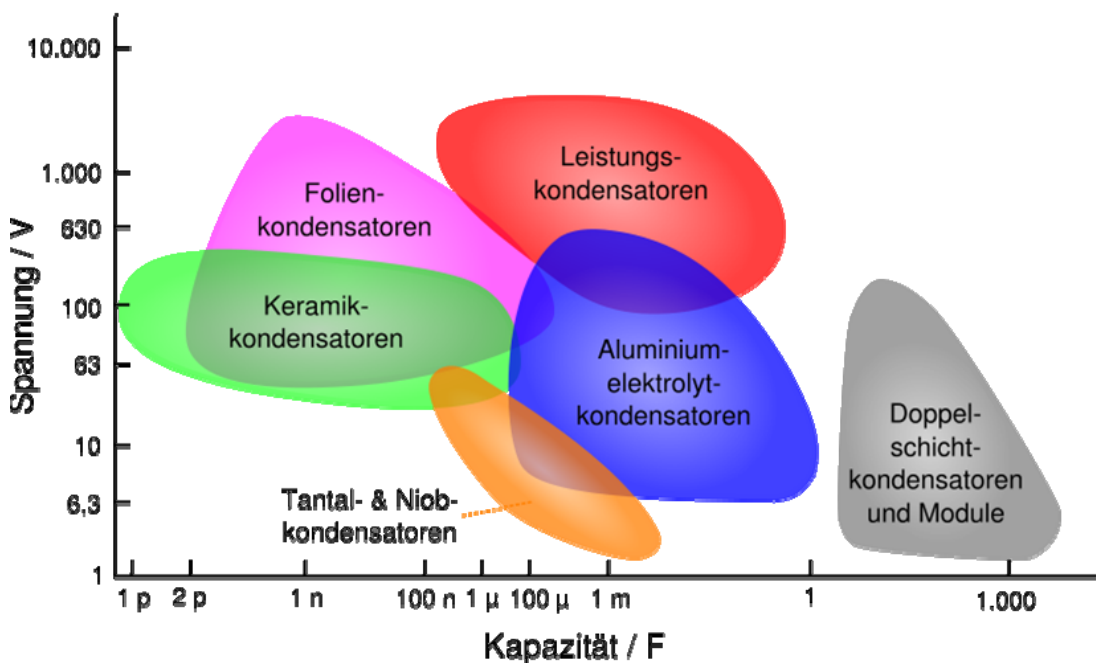


Obere Reihe, radiale Anschlüsse (v.l.): Glimmer, Keramik-Y, Keramik-Scheibe, Keramik-Mehrschicht, Folie gewickelt und vergossen, geschichteter Folienkondensator, gewickeltes und vergossenes Polystyrol, gewickelter X-Metallpapierkondensator, dito hochkant (man sieht die großflächige Kontaktierung der Stirnseiten), zwei Tantal-, zwei Aluminiumelektrolytkondensatoren, Doppelschichtkondensator

Mittlere Reihe, axiale Anschlüsse: gewickelter Polypropylen-, Polystyrol-Folienkondensator, Keramik-Durchführungskondensator, bipolarer Elektrolytkondensator.

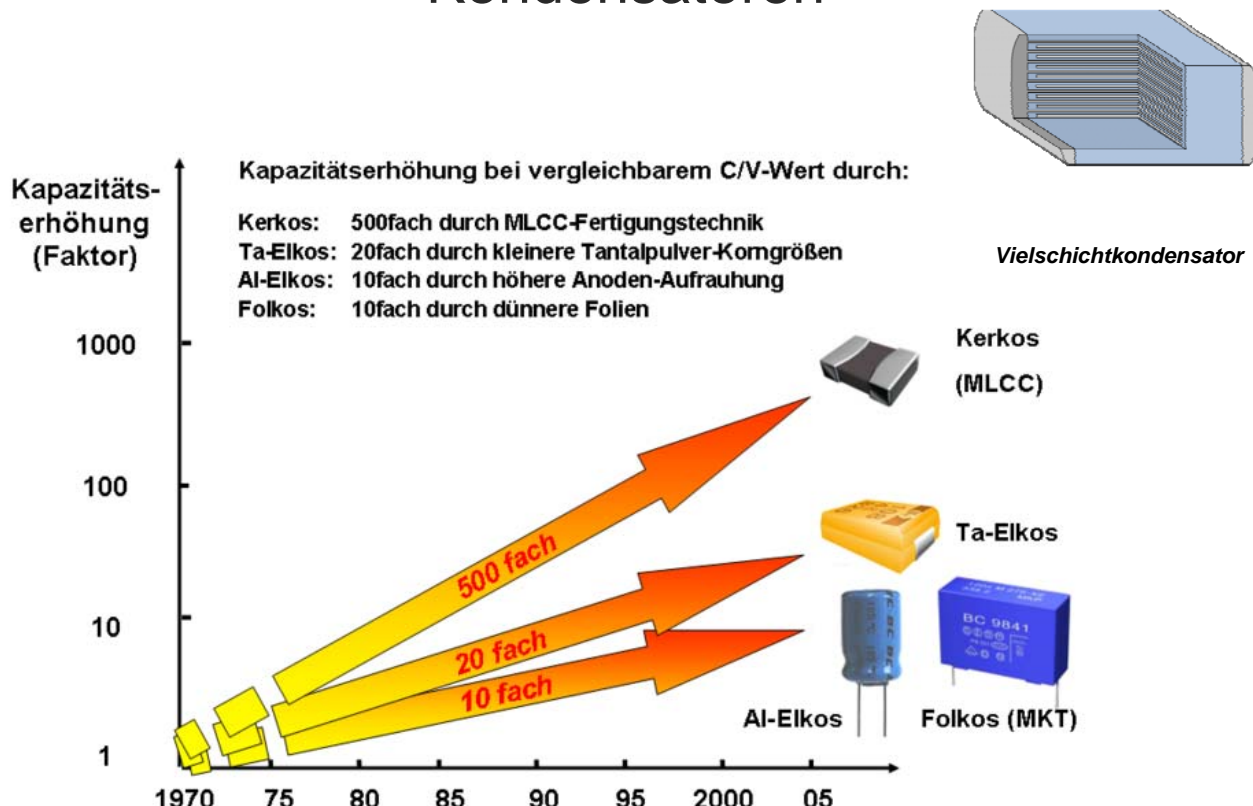
Untere Reihe, SMD-Bauformen: zwei SiO₂-, zwei Keramikkondensatoren, zwei Folienkondensatoren, Durchführungskondensator sowie die entsprechenden Elektrolytkondensatoren.

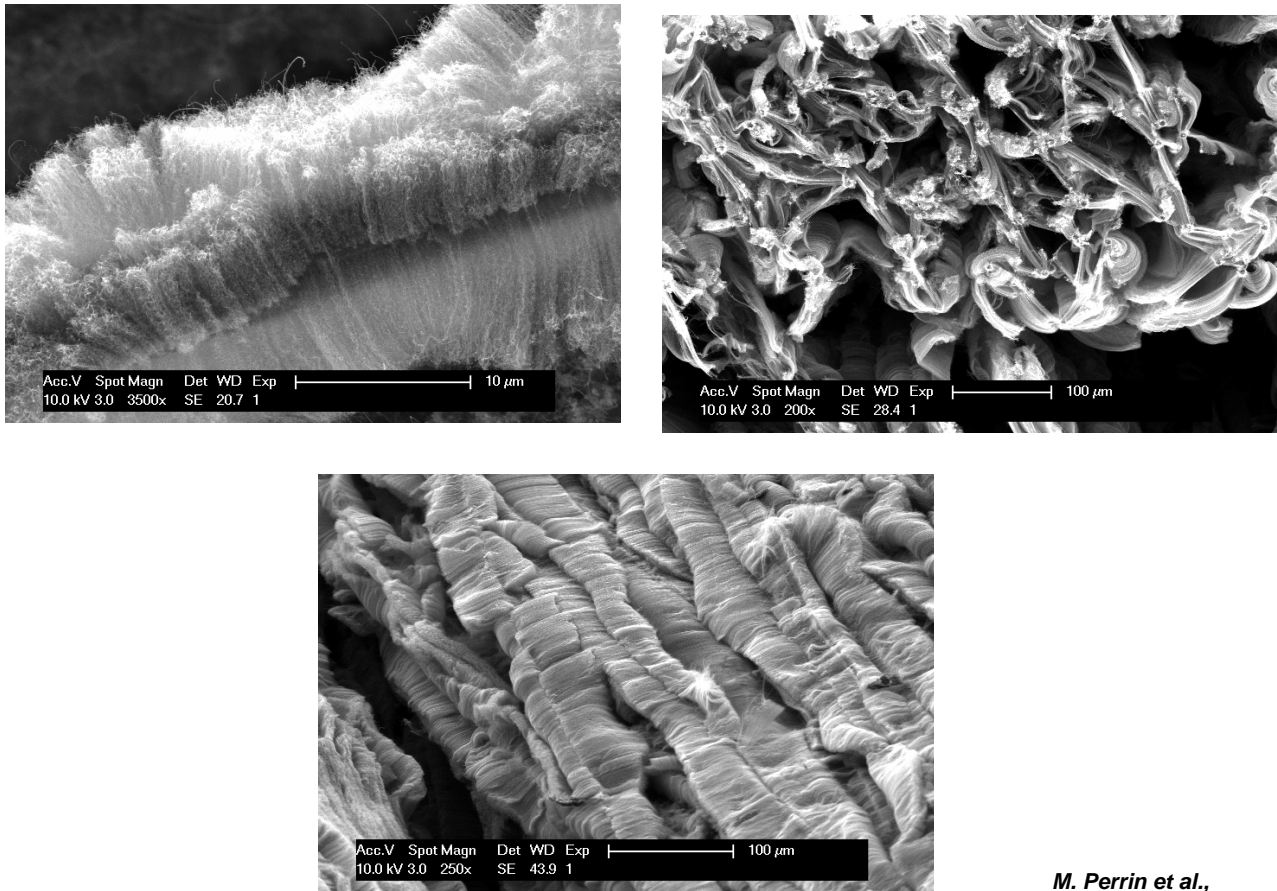
Kondensatoren



Spannungsfestigkeit und Kapazität verschiedener Kondensator-Technologien

Kondensatoren





M. Perrin et al.,

Physik II, mc

Ch 1: Elektrostatik

super-condensateurs

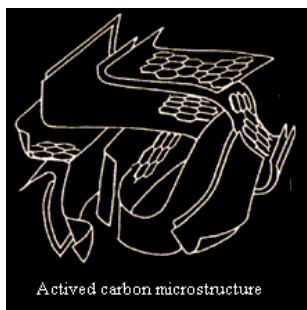


1-100 Farads \Rightarrow voitures hybrides

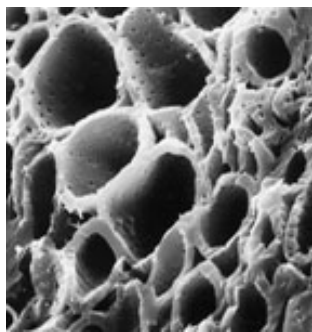
Ch 1: Elektrostatik

Physik II, mc

Supercapacitor

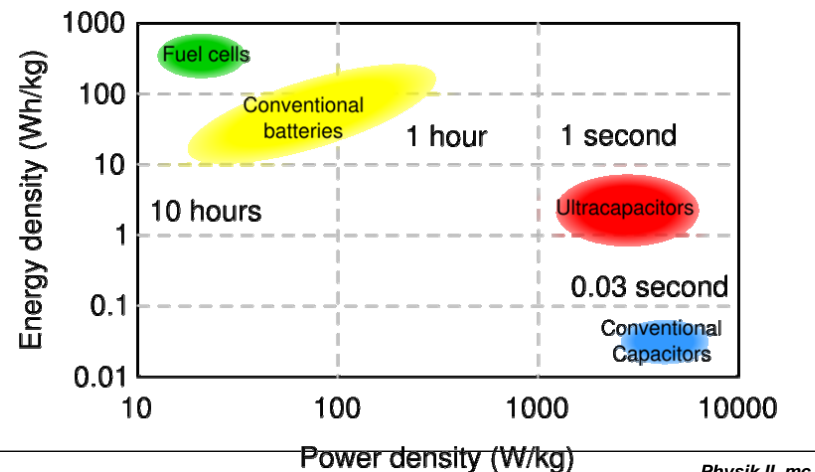


Activated carbon microstructure



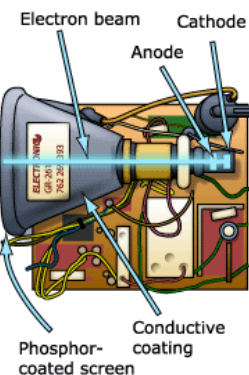
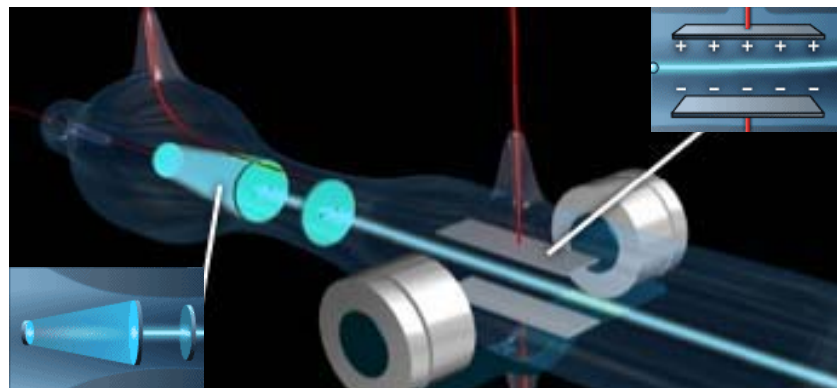
typische Werte: 1-10 Farad

$> 1000 \text{ m}^2/\text{g}$

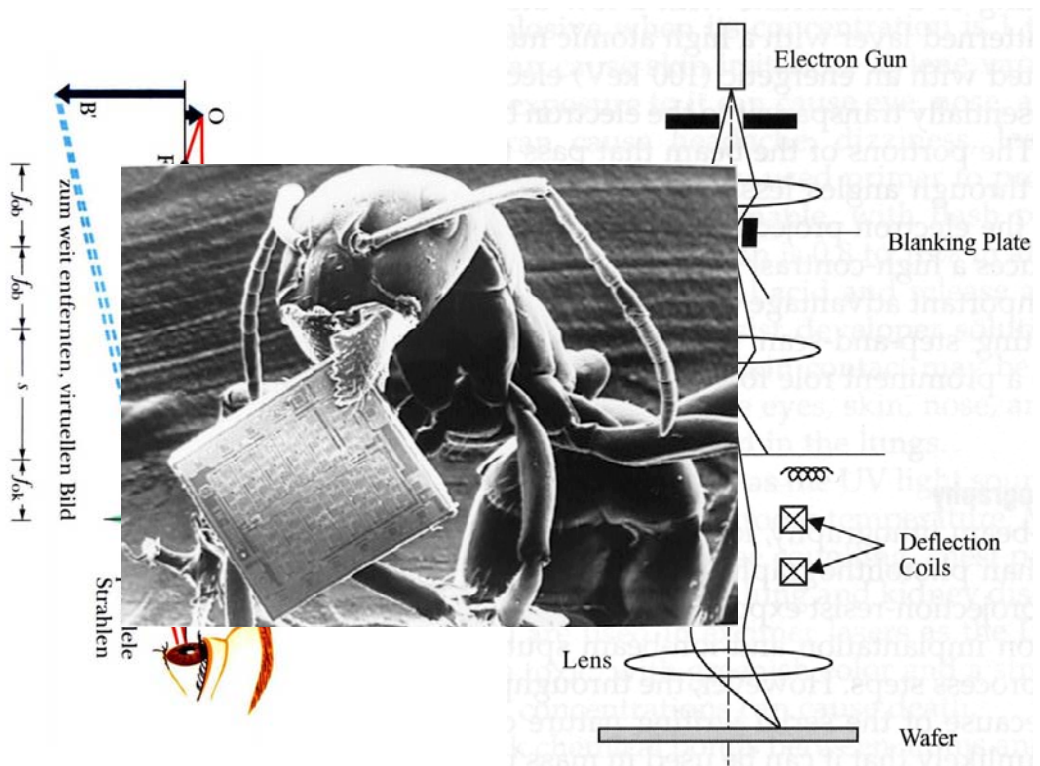


Elektron Rohr

(Kathodenstrahlzoszillograph)

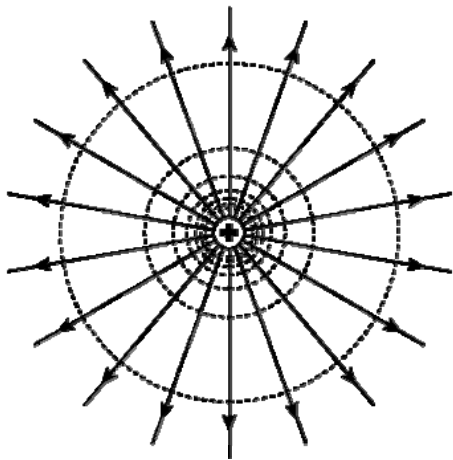


Elektronenmikroskop

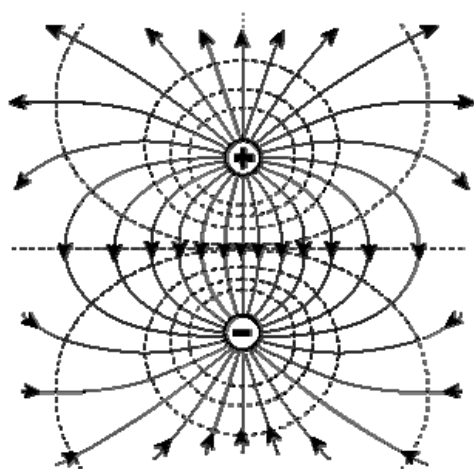


Feld und Aquipotential Linien

Ladung

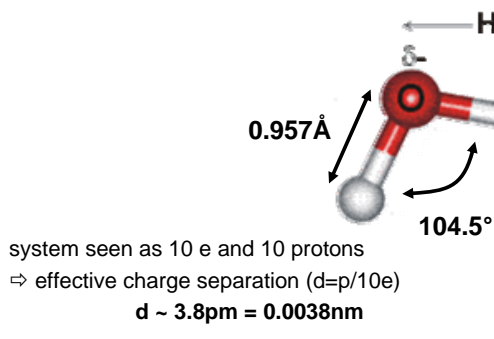


Dipol

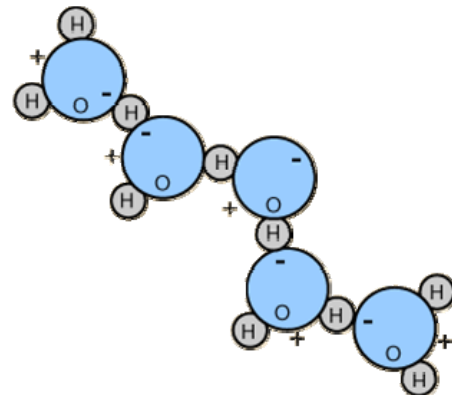


Wasser Moleküle

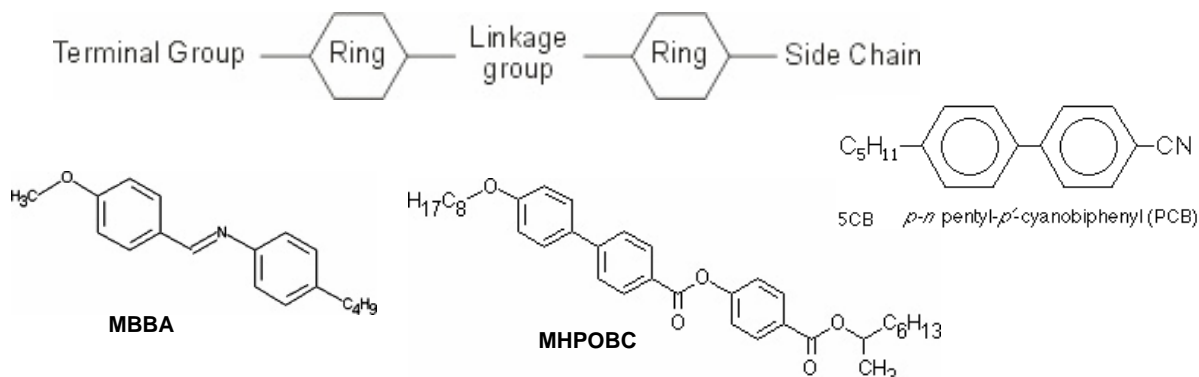
- dipole moment: $p = 1.83 \text{ Debye} = 6.11 \cdot 10^{-30} \text{ C} \cdot \text{m}$



(1st Bohr radius: 0.05 nm, charge separation small)



Flüssigkristall

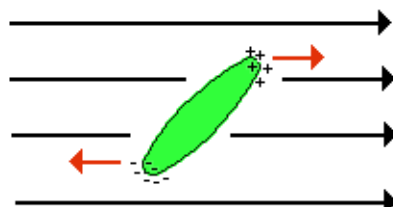


interaction between rings:
short range intermolecular forces,
Nematic structure

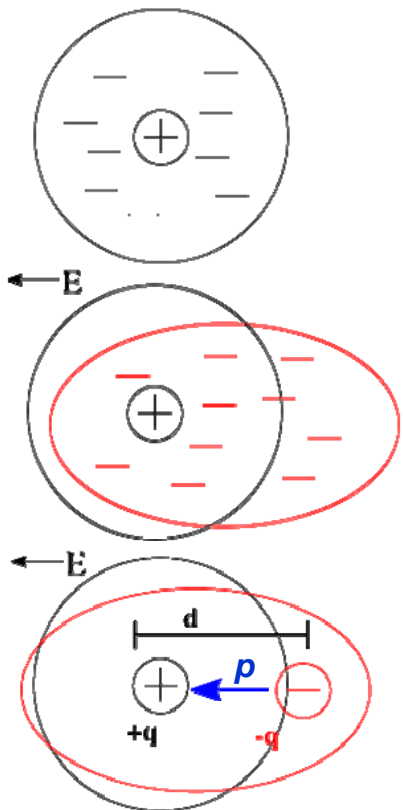
C chains: strong influence transition temperature between phases & elastic properties

terminal groups: affect dielectric constant, polarizability

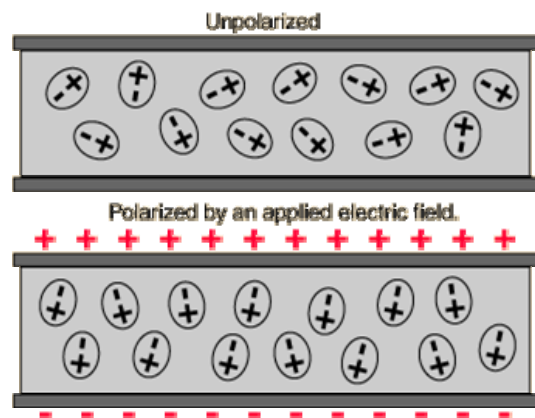
NB: permanent and/or induced dipoles



Verschiebungspolarisation



Orientierungspolarisation



Ch 1: Elektrostatik

wiki, hyperphysics mc

Flüssigkristall



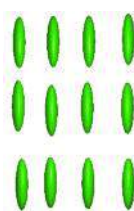
Isotropic
(no ordering)



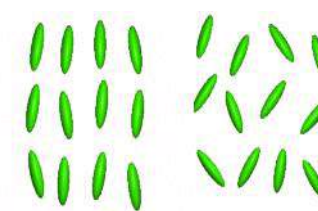
Nematic
(order in orientation)



Smectic
(order in position)



Solid



Liquid Crystal

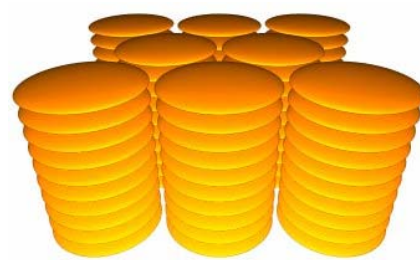
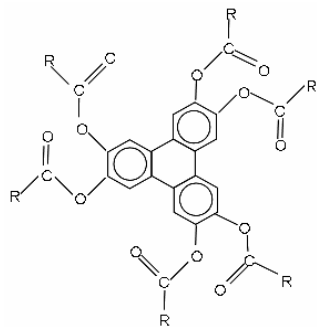


Liquid

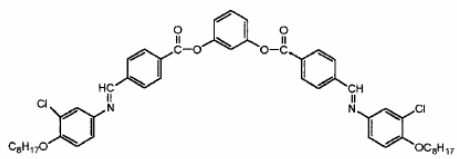
Ch 1: Elektrostatik

Physik II, mc

Flüssigkristall

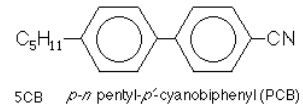


discotic structure



Banana shaped

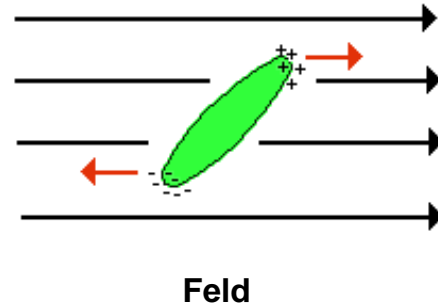
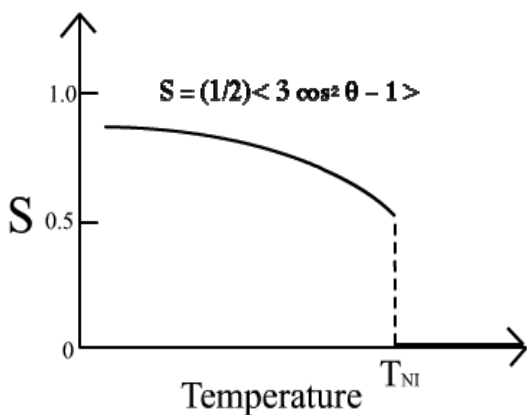
Flüssigkristall



random



ordered



Feld

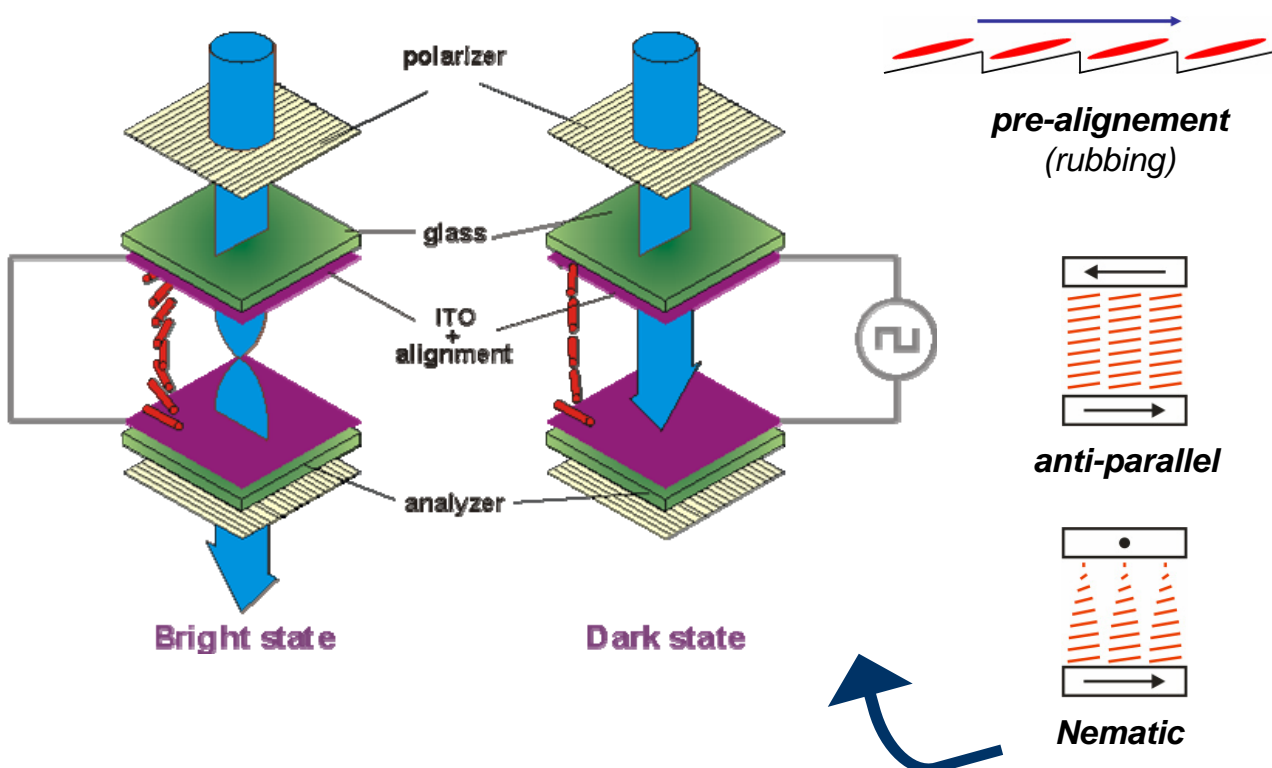
Flüssigkristallbildschirm



Ch 1: Elektrostatik

Physik II, mc

liquid crystal displays



Ch 1: Elektrostatik

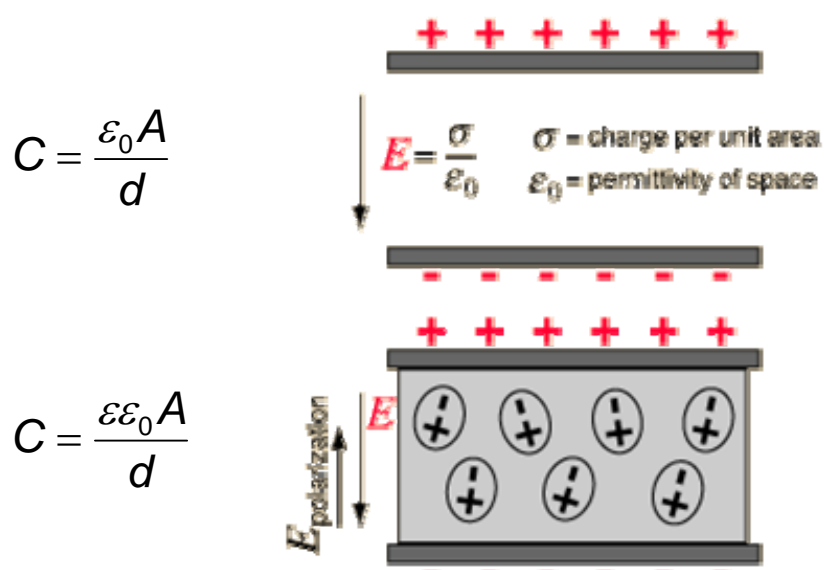
Physik II, mc

Dielektrika im elektrischen Feld

Tabelle 1.1. Relative statische Dielektrizitätszahl ϵ_r einiger Stoffe bei 20 °C

| Stoff | ϵ_r |
|-----------------------------|--------------|
| Quarzglas | 3,75 |
| Pyrexglas | 4,3 |
| Porzellan | 6–7 |
| Kupferoxyd CuO ₂ | 18 |
| <i>Keramiken</i> | |
| TiO ₂ | ≈ 80 |
| CaTiO ₃ | ≈ 160 |
| (SrBi)TiO ₃ | ≈ 1000 |
| <i>Flüssigkeiten</i> | |
| Wasser | 81 |
| Ethylalkohol | 25,8 |
| Benzol | 2,3 |
| Nitrobenzol | 37 |
| <i>Gase</i> | |
| Luft | 1,000576 |
| H ₂ | 1,000264 |
| SO ₂ | 1,0099 |

Kondensator



$$E_{\text{effective}} = E - E_{\text{polarization}} = \frac{\sigma}{\epsilon \epsilon_0}$$